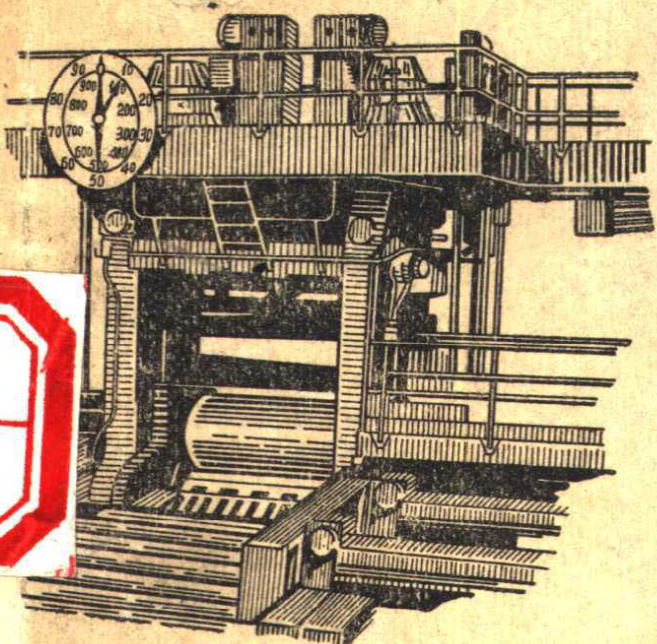
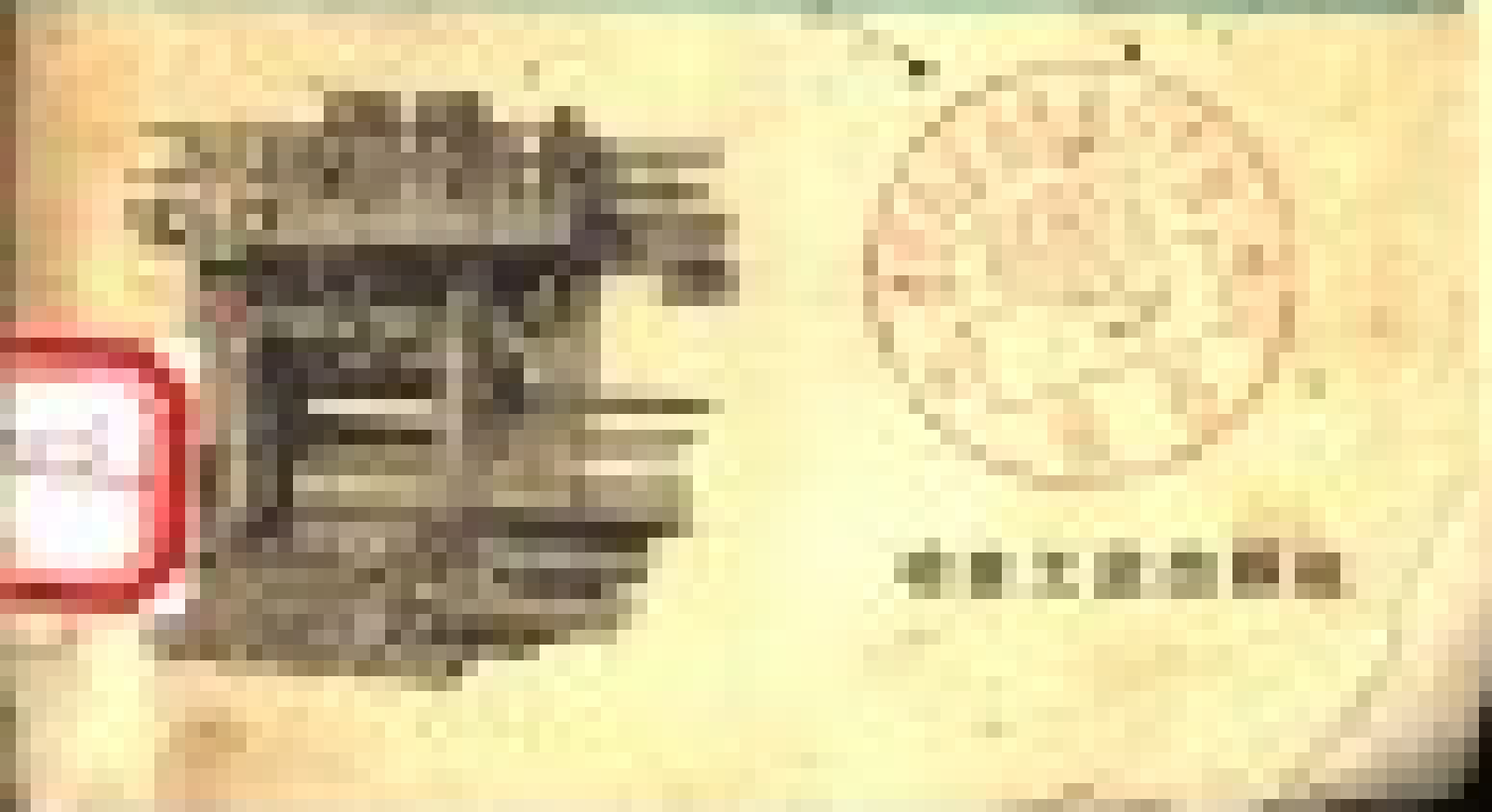


轧钢文集

第四輯



冶金工业出版社



轧 钢 文 集

第 4 輯

冶金工业出版社

2369/64

軋鋼文集 第4輯

冶金工业出版社出版 (地址: 北京市灯市口甲 45 号)

北京市書刊出版业营业許可証出字第 093 号

西四印刷厂印 新华書店发行

— * —
1959年12月第一版

1959年12月北京第一次印刷

印数 3,012 册

开本 850×1168 • 1/32 • 90,000字 • 印张4¹/₃₂ • 换页 8

— * —
统一書号 15062 • 1914 定价 0.63 元

TG 33-5/2(4)

12422

“轧钢文集”第4辑包括四篇关于轧制理论和轧机及轧制力计算，三篇叙述宽腿工字钢梁的生产工艺及介绍这种轧机的一种布置方式，和一篇关于美国1953年的轧钢生产情况等十篇文章，可供我国轧钢工作人员参考。

目 录

行星軋机的工作和計算原理.....	1
軋制时变形速度对单位压力分布的影响.....	15
有寬展軋制时的中性角和前滑.....	24
軋制寬腿鋼梁时作用于軋輶上的力.....	49
寬腿工字鋼的生产工艺.....	59
英國寬腿工字鋼軋机.....	70
提高橫列式大型軋鋼机的生产率.....	78
大型軋鋼机上圓鋼材产生皺紋的原因.....	88
捷尔任斯基工厂的管坯軋机.....	100
美国 1958 年軋鋼生产的情况	112

行星軋机的工作和計算原理

技术科学副博士A. A. 柯洛列夫

行星軋机是一种新型軋机，其构造原理如下：

上、下行星輶两端支在轴承上，轴承安在侧面的两个环形座圈内。行星輶环绕两个传动支承輶同步旋转。因此，由外形看来，支承輶系统颇似没有外圈的滚柱轴承系统，其中，支承輶相当于轴承内圈、行星輶相当于滚柱，轴承的滚柱两端设在夹圈内，内圈旋转时，由于其摩擦作用，滚柱即环绕本身轴线旋转，此外，尚与夹圈一起绕内圈旋转，行星輶的运动情况与此相同。

支承輶与行星輶一同设在普通的工作机架中；轴承座的位置可用压下和平衡装置沿高度调整，像在二輶式或四輶式机架中进行一样。为了保证上、下行星輶同步旋转，其侧面座圈设有啮合着的齿圈。这样，每隔一定时间，就有一对行星輶（上面一个、下面一个），通过由两支承輶中心线构成的垂直面。

在加热炉与行星工作机架之间，沒有送料輶，承受由炉中一块紧接一块出来的热板坯，将它们稍许压缩，以一定（不大）的速度把金属送（推）到行星輶运动轨道间的开度中去。在行星机架中轧过以后，带钢通过平整机架，然后卷成板卷（图1）。

行星軋机的主要特征在于：直径不大的每一工作（行星）輶只顺着咬入弧使金属的薄层变形（輶压）；但因单位时间内有許多对行星輶（如50—100对/秒）通过变形区，故金属在穿过工作机架一道次时总的变形量仍然很大，压缩率达90—95%，延伸率达10—20；若想用普通軋机达到这种变形程度，便需要軋制10—15道次。

行星軋机本身由其运动学特点决定的工作特征以及金属用此軋机軋制时之变形理論，我国的書刊內尚未加探討。然而有些工厂

和科学硏究單位的設計師們已对这种軋机做了一些較小的試驗模型，目前正在制造更大的軋机，这些軋机應該經過實驗与工业試軋。因此，闡述这一範圍內的某些理論問題，可能引起設計師們的兴趣，而将来，操作人員也可能对这些問題感到兴趣。

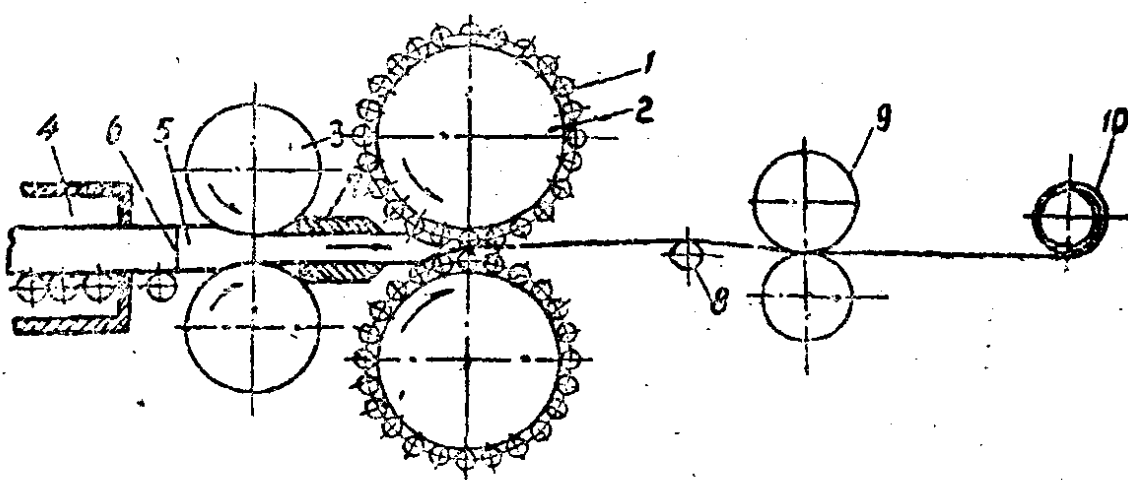


图 1 行星式軋机系統图

1—行星軋輶；2—传动支承輶；3—送料輶；4—加热爐；5—板坯；6—板坯
聯接處；7—導板；8—張力輶；9—平整輶；10—卷取机

1. 在变形区内行星輶的数量

研究行星軋机系統时，可以推測：金屬变形区內的行星輶越多越好，这样能够相对地減少每对行星輶的負荷。在变形区内，每面（上面和下面）可能同时有一个、二个或更多的輶子（图2）。

所有行星輶的直径 d 均相同，它們沿着以 $R + d$ 为半径的外軋道运行。假定此时金屬由最初厚度 h_0 变形到最終厚度 h_1 ，在变形区内有三对行星輶与金屬接触（图2，a）。輶1在金屬上軋过以后，位于变形区出口处；輶2重复輶1的路線，使金屬变形，輶2此时位于变形区中央；輶3已到变形区起点。这样，在以后任何时刻，都只有两个行星輶使金屬变形。

可以推測，在變形楔的任何斷面上，水平速度的分配都不均勻：表面層的速度將比中間層的小。

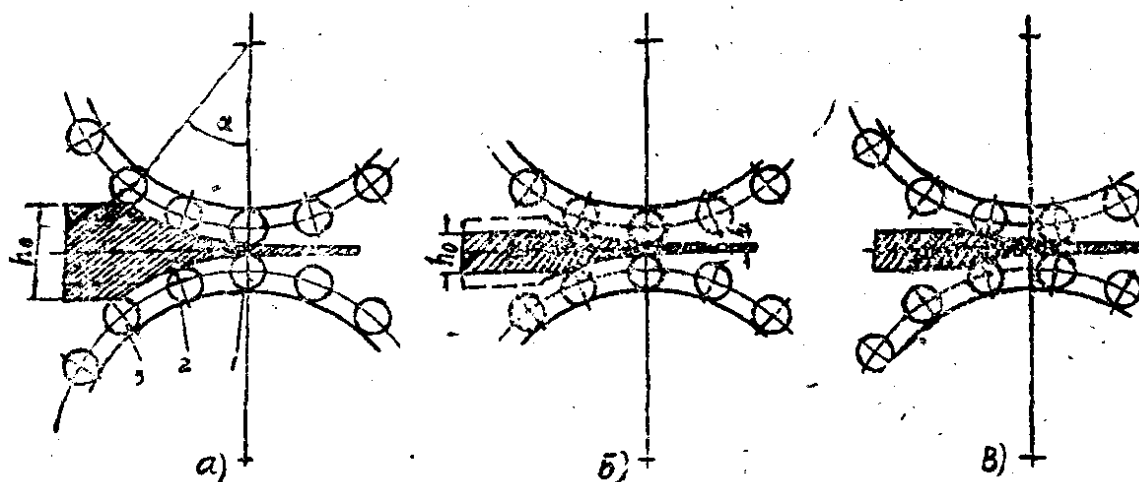


图 2 变形示意图

a—变形区内有 2—3 个行星辊；b—有 1—2 个行星辊；c—有 1 个行星辊

金屬自入口斷面到中央行星輥是以送料速度 V_0 移動的（圖 3），此速度因中央行星的變形作用而增大；由於表面層的速度較小，楔面產生波紋：變形輥前將出現許多〔半圓柱形〕，像用擀面杖在桌上擀面時發生的情形一樣。

現在假定變形區內有兩個行星輥；此時，可能一個行星輥位於出口處，另一個位於變形區的起點（圖 2，b）。很明顯，在這種情況下，前面所有推論仍然有效。

再假定前面一對行星輥已經滾過出口處，後面一對還沒有到達變形區，也就是說，在變形區內一對行星輥也沒有。此時，因行星輥未與金屬相接觸，不對送料發生阻力，在送料輥的作用下，金屬將向前移動一未知量。只要後面一對行星輥進入變形區內（圖 2，c），便開始使金屬變形；「但如果金屬移動量很大，行星輥會開始空轉。行星輥座圈便停下來，不能進行軋制。」

因此，如果變形區內只有一對行星輥，行星輥機便產生脈動工作方式：當一對輥子已經滾出變形區，另一對剛剛進來時，即

周期地发生額外送料現象，所以送料輥應保証以等速按定量送料，否則軋制工作可能中斷。

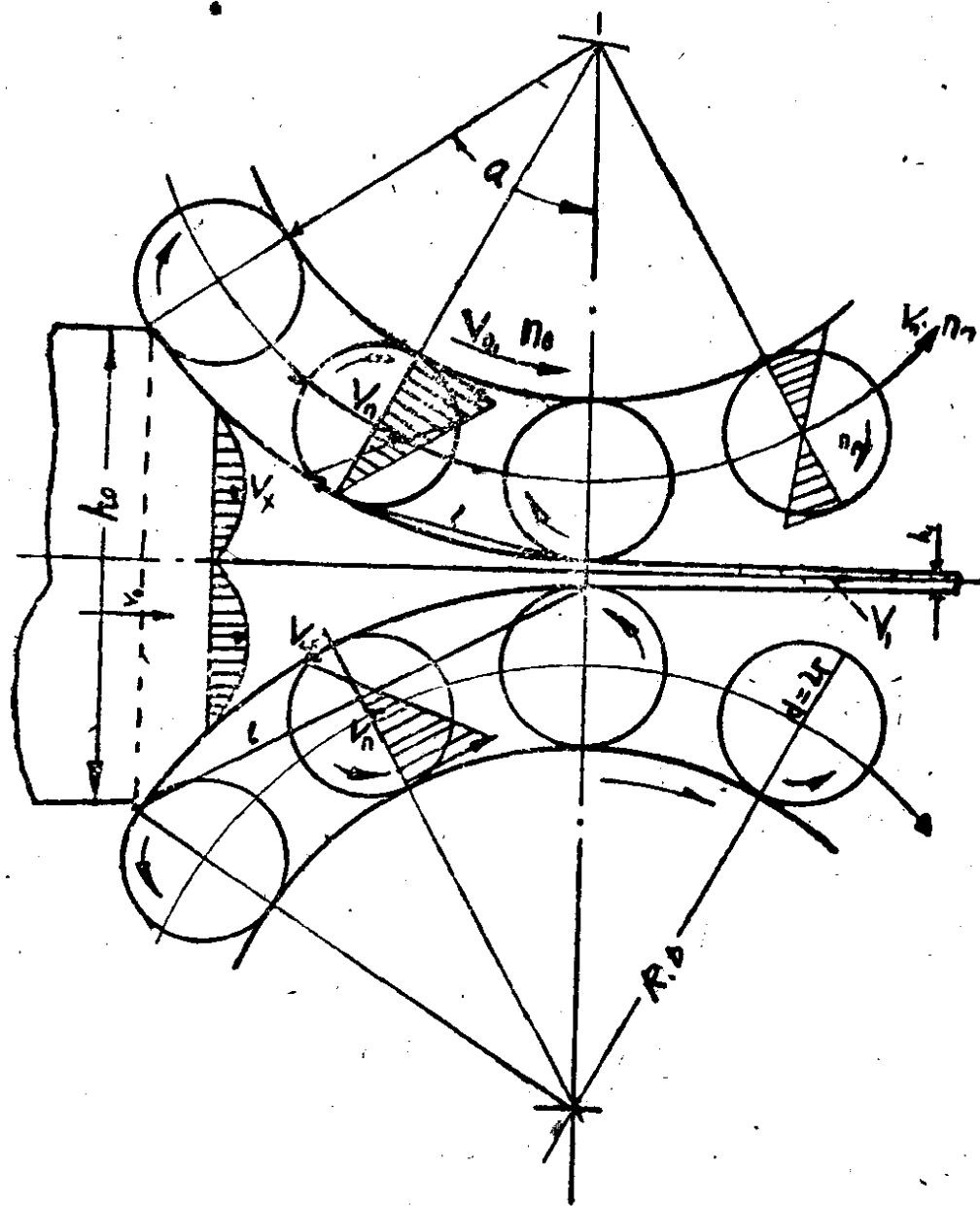


图 3 行星輥速度与金屬移动速度圖

2. 原始板坯的厚度及其压下量

根据上面的叙述，可以得出結論：在正常軋制过程中，变形区内应有两个行星輥，即变形楔最大弦 l 应約為相邻两行星輥間距（按外軌道計算） t 的二倍，如图 3 的下方所示。这样，弦長

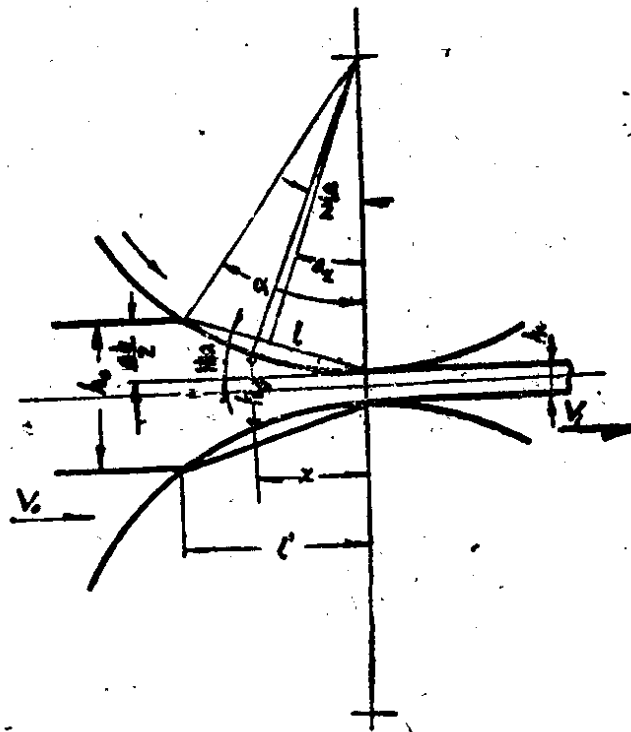
$$l \approx 2t \approx (R+d) \alpha \quad (1)$$

式中 α —— 变形区的中心角。

利用此值，可算出该行星轧机的最大压下量。由图 4 可得出：

$$\frac{\Delta h_{\max}}{2} = l \sin \frac{\alpha}{2} \quad (2)$$

图 4



变形区的中心角一般不超过 $15-20^\circ$ ，因此可取 $\sin \frac{\alpha}{2} \approx \frac{\alpha}{2}$ ，结果 $\Delta h_{\max} = l\alpha$ 。将式 (1) 中的 l 值代入此式，可得

$$\Delta h_{\max} = (R+d) \alpha^2 \quad (3)$$

当一个支承辊的行星辊数为 Z 时，变形中心角 $\alpha = 2 \frac{360}{z} = \frac{4\pi}{z}$ 。将此值代入式 (3)，可得

$$\Delta h_{\max} = (R+d) \left(\frac{4\pi}{z} \right)^2 = \frac{16\pi^2}{z^2} (R+d) \quad (4)$$

因为通常 $R=4 \sim 5 d$ ，故最后

$$\Delta h_{\max} \approx 800 \sim 950 \frac{d}{z^2} \quad (4a)$$

由上式可以得出結論，行星輥机上金屬的最大变形程度乃取决于輥机本身的几何参数，即取决于行星輥对数及其直径。

如前所述，若行星輥机工作輥迅速旋轉，則金屬在通过工作机架一道时，因受多次的小量压缩而获得很大的总压缩率。軋件軋一道后，其厚度通常減小到只为原厚的 $\frac{1}{15} \sim \frac{1}{20}$ ，或者更小。因 $\Delta h = h_0 - h_1$ ，而 $h_0 \gg h_1$ ，为便于估計輥机的能力起見，假定 $\Delta h \approx h_0$ ；式(4)就变成下述形式：

$$h_{0\max} = \frac{16\pi^2}{z^2} (R + d) \approx 800 - 950 \frac{d}{z^2} \quad (45)$$

这样，該輥机所用原始板坯便有一定的最大厚度；如果厚度过大，需要很大的軸向力送料，难以进行輥制。而厚度过小时，由于压下量不大，輥机产量就很低。例如，当輥机有25对直径50毫米的行星輥，且支承輥直径为500毫米时，最大压下量为：

$$\Delta h_{\max} = \frac{16\pi^2}{25^2} (250 + 50) \approx 70 \text{ 毫米}$$

若軋件最終厚度 $h_1 = 4$ 毫米，则板坯原始厚度将为74毫米，变形程度 $\epsilon = \frac{\Delta h}{h_0} = \frac{70}{74} = 0.947$ ，即94.7%，而軋件延伸率（不考慮寬展率） $\lambda = \frac{h_0}{h_1} = \frac{74}{4} = 17.6$ 。

如果輥制不是沿三个行星輥（由两个輥子輥制）間的弦进行，而是沿两个行星輥間的弦进行，即金屬在任何时刻都只由一个行星輥輥制（如图3的上方所示）；則 $\alpha = \frac{2\pi}{z}$ ， $l \approx t \approx \frac{2\pi}{z} (R + d)$ ，Z仍然相同。

$$\Delta h_{\max} = \frac{4\pi^2}{z^2} (R + d) \approx 200 \sim 240 \frac{d}{z^2} \quad (4b)$$

也就是说，輥机生产能力減小了 $\frac{3}{4}$ 。

可見变形区内經常应有两个行星輥，即变形模的弦 l 可在 $1 - 2t$ 之間；因此，如果該輥机有直径 d 的行星輥 Z 对，它能

軋制的板坯厚度

$$h_0 \approx 200 \sim 950 \frac{d}{z^2}$$

3. 支承輥与行星輥直径之比

为了使金属楔的变形更加均匀，必须使行星輥的数目尽量多一些；由此观点看来，行星輥間可能有的空隙應該最小方合理想。但因在侧面座圈內布置輥頸軸承有结构上的困难，故实际上行星輥間的空隙为行星輥半径值的40~80%。空隙 δ 与輥子半径 r 之比用 ψ 表示 ($\psi = \frac{\delta}{r}$; $\delta = \psi r$)，列出确定經過行星輥中心的圆周长度所用方程式：

$$2\pi (R+r) = (2r)z + \delta z = zr (2 + \psi)$$

由此

$$\frac{R}{r} = z \frac{2 + \psi}{2\pi} - 1 \approx \frac{z}{2.5} \quad (5)$$

对于前面研究过的例子，取 $\delta = 0.6r$ ，即 $\psi = 0.6$ ，则得

$$\frac{R}{r} = 9.8$$

支承輥与行星輥的直径，根据支承輥的圆周速度和传来的扭矩、按结构确定之。其直径比按式(5)决定。

4. 金属在变形区内滞留的时间

前面已經提到，金属在行星輥机上的水平移动速度变化规律比用普通輥机軋制时要复杂。但是，根据变形楔任何断面上金属用量不变定律并同时使金属移动速度变化与楔的厚度变化成比例，便可确定金属在变形区内的滞留时间及其在任何断面上移动的平均速度变化性質一次近似值。

与变形区金属出口中心綫相距 X 的变形楔任何断面厚度等于(图4)：

$$h_x = h_1 + 2x \operatorname{tg} \frac{\alpha_x}{2} \approx h_1 + 2x \frac{\alpha_x}{2} = h_1 + x \alpha_x$$

因为 $\alpha_x \approx \operatorname{tg} \alpha_x \approx \frac{x}{R+d}$, 故

$$h_x = h_1 + \frac{x^2}{R+d} \quad (6)$$

将变形区任何断面上金属每秒用量不变的条件写成下式:

$$v_0 h_0 = v_1 h_1 = v_x h_x. \quad (7)$$

变形区任何断面上的金属平均速度相等, 这一点像在两个传动辊间轧制一样

$$v_x = v_0 \frac{h_0}{h_x} = v_1 \frac{h_1}{h_x}. \quad (8)$$

实际上, 速度变化性质与按式(8)算出的略有出入, 这是因为金属变形特殊的缘故(金属不是沿整个楔面变形, 只有行星辊下的部分才变形, 像用狭窄的鎚头打铁时发生的情形一样), 但惟有根据相应的试验方能加以必要的修正。

将金属移动速度作为时间一次导数, 可得

$$v_x = \frac{dx}{dt}, \quad t = \int_0^l \frac{dx}{v_x} = \frac{1}{v_0 h_0} \int_0^l h_x dx = \frac{1}{v_0 h_0} \int_0^l \left(h_1 + \frac{x^2}{R+d} \right) dx$$

解积分后, 即得确定金属在变形区自入口断面移到出口断面这段时间(轧制时间)的公式:

$$t_{np} = \frac{l}{v_0 h_0} \left[h_1 + \frac{l^2}{3(R+d)} \right] \quad (9)$$

因按式(1), $l = \frac{\Delta h}{\alpha} = (R+d) \alpha$, 代入后, 即得

$$t_{np} = \frac{(R+d)\alpha}{v_0 h_0} \left(h_1 + \frac{\Delta h}{3} \right) \quad (9a)$$

对于前面的例子而言, 当向辊间送料的速度 $v_0 = 1$ 米/分、变形楔中心角 $\alpha = \sqrt{\frac{\Delta h}{R+d}} = \sqrt{\frac{70}{300}} = 0.482$ (相当于 $\alpha = 27^\circ 30'$)

及 $l = 144.6$ 毫米时, 可得

$$t_{up} = \frac{144.6}{74 \times 1000} \left(4 + \frac{70}{3} \right) \times 60 = 3.2 \text{ 秒}$$

金屬脫輶速度

$$v_1 = v_o \frac{h_0}{h_1} = 1 \times \frac{74}{4} = 17.6 \text{ 公尺/分}$$

当带鋼寬 $b_1 = 300$ 公厘时，軋机的生产能力

$$Q = h_1 b_1 r v_1 = 0.004 \times 0.3 \times 7.8 \times 17.6 \times 60 = 9.8 \text{ 吨/小时}$$

f 66

5. 行星輶的運動学

如果滾柱軸承的外圈固定，而內（支承）圈以圓周速度 v_B 和角速度 $n_B = \frac{60v_B}{\pi D}$ 旋轉，則滾柱座圈（夾圈）以行星速度 v_n 繞內圈旋轉，此行星速度等于圓周速度 v_B （見圖3）之半，即 $v_n = \frac{1}{2} v_B = \frac{\pi D n_B}{2 \times 60}$ 。座圈对于內圈旋轉軸線之角速度（行星速度）

$$\omega_n = \frac{v_n}{R+r} \text{ 或}$$

$$n_n = \frac{30v_B}{\pi(D+d)} = \frac{n_B}{2} \times \frac{D}{D+d} \\ \approx \frac{n}{2.2} \left(\text{在 } \frac{d}{D} = 0.1 \text{ 的条件下} \right) \quad (10)$$

因为 $D \gg d$ ，故可大致認為座圈角速仅及內圈角速的 $\frac{5}{11}$ 。

滾柱对于本身的旋轉軸線之角速度 $n_p = \frac{60v_n}{\pi d}$ （在 $v_n = v_p$ 的条件下），即滾柱每分鐘轉數較內支承圈每分鐘轉數的一半大 $\frac{D}{d}$ 倍：

$$n_p = \frac{n_B}{2} \times \frac{D}{d} \quad (11)$$

但由于下述原因，这些推論不完全适用于行星軋机的工作系統：

1) 實驗表明，行星輶与金屬之間有滑动存在；

2) 变形模金属表面层的速度沿模长而不同，此速度方向与行星辊旋转速度方向相反，也就是说，它促使行星辊沿金属相对地滑动（表面层下的金属层以更大的速度朝出料方向移动）；

3) 实验还表明，在传动支承辊与行星辊之间没有滑动（或者只有极小的滑动）。

这样，实际圆周（线）速度与角（行星）速度将为：

$$v_u' = v_n (1-S) = \frac{v_n}{2} (1-S); \quad (12)$$

$$n_u' = \frac{60 v_u'}{\pi (D+d)} = \frac{n_b}{2} \times \frac{D}{D+d} (1-S) \approx \frac{n_b}{2.2} (1-S) \quad (13)$$

式中 S ——考虑到由于行星辊沿金属滑动以致座圈损失速度之系数；英国的行星辊机工作经验表明： $S=0.02-0.05$ 。

当 $S=0.05$ 及 $d=0.1D$ 时，可得 $n_u' = 0.43 n_b$ ，即座圈旋转速度几乎只为支承辊旋转速度的40%。

行星球圈绕支承辊旋转一周所需时间为：

$$t_u = \frac{\pi (D+d)}{v_u'} = \frac{2\pi (D+d)}{v_b (1-S)} = 120 \frac{D+d}{n_b (1-S)} \quad (14)$$

若 $S=0.05$ 及 $d=0.1D$ ，则得 $t_u = \frac{140}{n_b}$ 。对前例而言，当 $n_b=500$ 转/分时，座圈转一周的时间 $t_u=0.28$ 秒，而座圈的行星角速度 $n_u=216$ 转/分。

为了判定行星辊对金属的单位压缩（部分压缩）次数，现在计算，每秒钟进行单位压缩的行星辊有多少对

$$z' = \frac{D_u}{60} \times z = \frac{z}{t_u} \quad (15)$$

此例中，行星辊数目为26对，座圈转一周的时间为0.28秒，故得

$$z' = \frac{26}{0.28} = 93 \text{ 对/秒}$$

即每秒钟将有93对行星辊经过变形区的金属入口断面。

金属在变形区内滞留的时间按式(9a)计算。在此时间(辊

制时间) 内, 与金属相接触的行星辊对数:

$$z_{np} = z' t_{np} \quad (16)$$

将 z' 和 t_{np} 之值代入此例, 即得 $z_{np} = 93 \times 3.2 = 297$ 对。

6. 金属在轧制时的部分压下量和压力

一对行星辊对金属的单位(部分)压下量

$$\Delta h_1 = \frac{\Delta h}{Z_{np}} \quad (17)$$

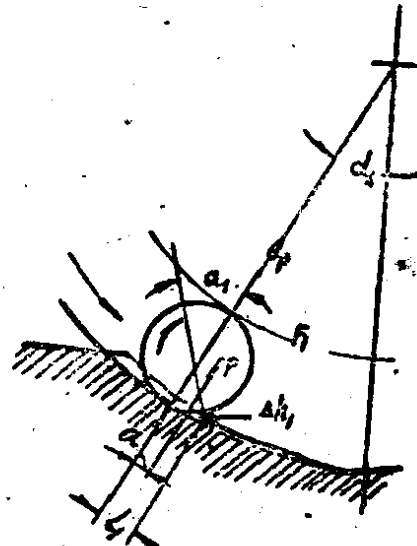
在此例中, $\Delta h_1 = \frac{70}{297} = 0.236$ 毫米, 即每对工作辊每道使金属原始板坯厚度变形 0.236 毫米。

在变形区入口断面上行星辊对金属的咬入角(图 5):

$$\alpha_1 = \sqrt{\frac{\Delta h_1}{r}} \quad (18)$$

图 5

金属对行星辊与支承辊的
压力计算图



在此例中

$$\alpha_1 = \sqrt{\frac{0.236}{25}} = \frac{0.485}{5} = 0.097$$

即行星辊对金属的咬入角 $\alpha = 5^\circ 32'$ 。由于进行热轧且行星辊转速甚大时, 金属与辊子间摩擦系数 μ 将为 0.25—0.35, 故咬入条件 ($\mu \geq \alpha_1$) 可以保持, 因而摩擦力还有很大的余量。

进入变形区的一个行星辊对金属的咬入弧长度

$$l_1 = \sqrt{\Delta h_1 r} = 2.3 \text{ 毫米}$$